

## ЛОКАЛИЗОВАННЫЕ ЭЛЕКТРОННЫЕ СОСТОЯНИЯ НА ДЕФЕКТАХ ПОЛУПРОВОДНИКОВОЙ СВЕРХРЕШЕТКИ

Гашимзаде Н. Ф., Ивченко Е. Л., Кособукин В. А.

Построена теория электронных состояний, локализованных в одном измерении на дефектах полупроводниковой сверхрешетки. Такими дефектами могут быть различные нарушения периодичности сверхструктуры, при которых, однако, сохраняется однородность в плоскости слоев: нестандартная квантовая яма или барьер с иной шириной слоя или с иным составом, смещение гетерограницы и т. д. С помощью метода матриц перехода выведено уравнение для энергии локализованного электрона. Для некоторых типов дефектов рассчитаны энергия связи и длина локализации электрона. Отдельно проанализированы дефекты с малой энергией связи, когда применим метод эффективной массы электрона в сверхрешетке.

В полупроводниковых сверхрешетках (СР) с дефектами возможны состояния носителей тока или коллективных возбуждений, локализованных в одном измерении (локализованные плазмоны в СР рассматривались, например, в [1-3]). Такими дефектами могут быть различные нарушения периодичности сверхструктуры, при которых, однако сохраняется однородность в плоскости слоев: нестандартные квантовые ямы или барьеры с иной шириной слоя либо с иным составом, смещение гетерограницы в СР (одна из ям расширена, прилегающий к ней барьерный слой сужен так, что их суммарная ширина не изменяется) и т. д. Эти дефекты могут быть встроены в СР целенаправленно и могут служить конструктивными элементами структур квантовой микрозелектроники [4] или возникать случайно в процессе выращивания структуры.

В данной работе теоретически исследованы электронные состояния, локализованные в СР в одном измерении. Для некоторых типов дефектов полупроводниковой СР рассчитаны энергия связи и длина локализации электрона в зависимости от параметров этих дефектов. Результаты расчета, применимые и к дыркам, могут быть полезны при изучении формы полосы фотолюминесценции, низкотемпературной фотопроводимости и других оптических свойств неидеальных сверхрешеток, а также гетероструктур в виде одиночной квантовой ямы с примыкающими к ней с обеих сторон сверхрешетками [4].

Изучение одномерной локализации [5] в СР представляет и общефизический интерес, так как именно с СР связана возможность создавать дефекты заданного типа с заданной одномерной неупорядоченностью [6]. Существенно, что как сверхструктура, так и дефекты СР имеют макроскопический масштаб, вследствие чего детали микроскопической неупорядоченности, обусловленной примесями, можно считать незначительными.

### 1. Уравнение для энергии локализованного электрона

Для проведения численного расчета для композиционной СР GaAs/ $Al_xGa_{1-x}As$  рассмотрим структуру, составленную из слоев типа  $A$  (квантовая яма) и  $B$  (барьер) с эффективными массами  $m_A$  и  $m_B$  в соответствующих объемных материалах. С учетом однородности этой структуры в плоскости  $xy$  решение уравнения Шредингера для огибающей волновой функции электрона в СР в методе эффективной массы ищем в виде

$$\Psi(r) = e^{i(q_x x + q_y y)} \psi(z). \quad (1)$$

На каждом гетеропереходе на функцию  $\psi(z)$  накладываем используемые обычно граничные условия [7]

$$\psi_{\text{л}} = \psi_{\text{п}}, \quad \left( \frac{1}{m(z)} \frac{d\psi}{dz} \right)_{\text{л}} = \left( \frac{1}{m(z)} \frac{d\psi}{dz} \right)_{\text{п}}. \quad (2)$$

Здесь индексы «л» и «п» характеризуют среду, расположенную соответственно слева и справа от гетерограницы, которая перпендикулярна оси  $z$ .

Для указанных в начале статьи дефектов существуют две плоскости  $z=z_+$  и  $z=z_-$  ( $z_- < z_+$ ), такие, что области  $z < z_-$  и  $z > z_+$  заняты чередующимися слоями типа  $A$  и  $B$ , имеющими толщину  $a$  и  $b$  соответственно, а область дефекта  $z_- < z < z_+$  состоит из конечного числа слоев  $A$  и  $B$  толщиной  $d_1, \dots, d_n$ .

Уравнение для энергии локализованного электрона  $E$  можно получить, «спивая» в точках  $z_-$  и  $z_+$  решение  $\psi(z)$  в области дефекта  $z_- < z < z_+$  с решениями в регулярных областях, затухающими при  $z \rightarrow \pm\infty$ . Последние совпадают с решениями уравнения Шредингера для идеальной СР, удовлетворяющими соответственно условиям

$$\psi^{(\pm)}(z + a + b) = e^{\mp\beta(a+b)} \psi^{(\pm)}(z), \quad (3)$$

где  $\operatorname{Re} \beta > 0$  и  $\beta$  удовлетворяет дисперсионному уравнению

$$\operatorname{ch} \beta(a + b) = \cos ka \operatorname{ch} xb + \frac{1}{2}(\eta - \eta^{-1}) \sin ka \operatorname{sh} xb, \quad (4)$$

$$k = (2m_A E \hbar^{-2} - q^2)^{1/2}, \quad z = [2m_B(V - E)\hbar^{-2} + q^2]^{1/2}, \quad \eta = \frac{m_A}{m_B} \frac{z}{k}, \quad (5)$$

$V$  — величина потенциального барьера на гетерогранице. Заметим, что величина  $(\operatorname{Re} \beta)^{-1}$  определяет длину проникновения локализованного на дефекте электрона в СР. Далее рассматриваются состояния с энергией ниже дна нижней мини-зоны. В этом случае правая часть уравнения (4) превышает единицу, и это уравнение имеет вещественное решение  $\beta(E, q)$ . В верхних запрещенных мини-зонах, в которых правая часть (4) принимает значения, меньшие  $(-1)$ , величина  $\beta$  содержит мнимый вклад  $i\pi/(a+b)$ , определяемый однозначно с точностью до  $2\pi in/(a+b)$ , где  $n$  — целое число [см. (3), (4)].

Введем безразмерные матрицы перехода  $\hat{t}_i$ , связывающие пары значений  $\psi$  и  $\varphi = (m_A/m_i) k^{-1} (d\psi/dz)$  на левой и правой границах  $i$ -го слоя.

Для слоя типа  $A$  или  $B$  толщиной  $d$  эти матрицы имеют вид

$$\hat{t}_A(d) = \begin{pmatrix} \cos kd & \sin kd \\ -\sin kd & \cos kd \end{pmatrix}, \quad \hat{t}_B(d) = \begin{pmatrix} \operatorname{ch} xd & \eta^{-1} \operatorname{sh} xd \\ \eta \operatorname{sh} xd & \operatorname{ch} xd \end{pmatrix}. \quad (6)$$

Учитывая непрерывность функций  $\psi$  и  $\varphi$  на гетерограницах, находим связь между  $\psi^{(+)}$  и  $\psi^{(-)}$ :

$$\begin{pmatrix} \psi^{(+)}(z_+) \\ \varphi^{(+)}(z_+) \end{pmatrix} = \hat{t} \begin{pmatrix} \psi^{(-)}(z_-) \\ \varphi^{(-)}(z_-) \end{pmatrix}, \quad (7)$$

где  $\hat{t}$  — матрица перехода через всю дефектную область:

$$\hat{t} = \prod_{i=1}^N \hat{t}_i(d_i). \quad (8)$$

Из условия разрешимости (7) следует уравнение для энергии локализованных электронных состояний

$$W^{(+)}(z_+) = \frac{t_{21} + t_{22} W^{(-)}(z_-)}{t_{11} + t_{12} W^{(-)}(z_-)}, \quad (9)$$

где величины  $W^{(\pm)} = \varphi^{(\pm)}/\psi^{(\pm)}$  на гетерограницах  $AB$  и  $BA$  определяются соотношениями

$$W_{AB}^{(\pm)} = -W_{BA}^{(\mp)} = \frac{\cos ka - e^{\pm\beta(a+b)} \operatorname{ch} xb}{\sin ka + \eta^{-1} e^{\mp\beta(a+b)} \operatorname{sh} xb} = \frac{e^{\mp\beta(a+b)} - \cos ka \operatorname{ch} xb - \eta \sin ka \operatorname{sh} xb}{\sin ka \operatorname{ch} xb + \eta^{-1} \cos ka \operatorname{sh} xb}. \quad (10)$$

Заметим, что в (10) первое равенство следует из симметрии идеальной СР к замене  $z$  на  $(-z)$ , а последнее равенство есть иная форма записи дисперсионного уравнения (4).

Развитый формализм применим и к дефектам с непрерывным или квазинепрерывным распределением параметров  $m(z)$  и  $V(z)$  в области  $z_- < z < z_+$  (аналогичный подход известен в оптике слоистых систем [8]). В этом случае

$$t = T \exp \left( \int_{z_-}^{z_+} \hat{M}(z) dz \right),$$

где

$$\hat{M}(z) = \begin{pmatrix} 0 & x(z)/\eta(z) \\ x(z)\eta(z) & 0 \end{pmatrix},$$

а  $T$  — оператор упорядочения по  $z$ .

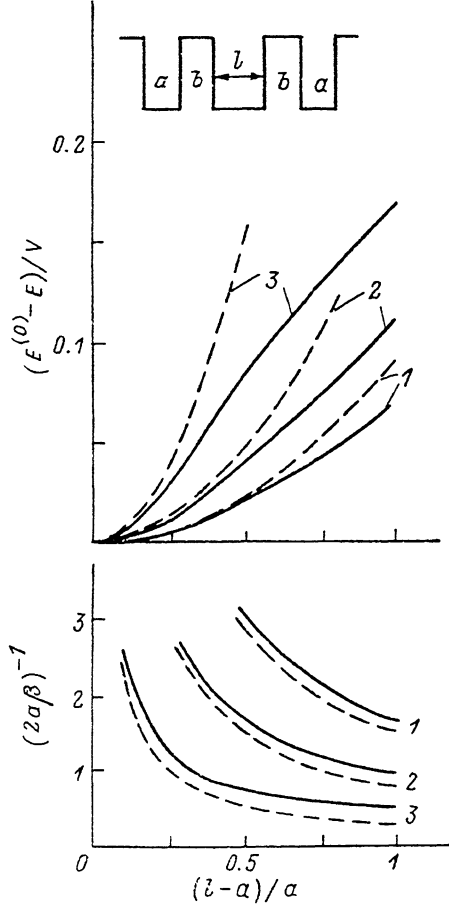


Рис. 1. Зависимость от  $l$  энергии связи  $E^{(0)} - E$  и длины локализации  $\beta^{-1}$  электрона на дефекте «нестандартная яма» (см. вставку). Расчет проводился для СР GaAs/Al<sub>x</sub>Ga<sub>1-x</sub>As с  $a=b$  при  $x=0.35$  ( $V=0.249$  эВ) и  $a=15$  (1), 20 (2), 30 Å (3). Сплошные кривые рассчитаны по точным формулам (4), (11), штриховые — по приближенным формулам (18), (20).

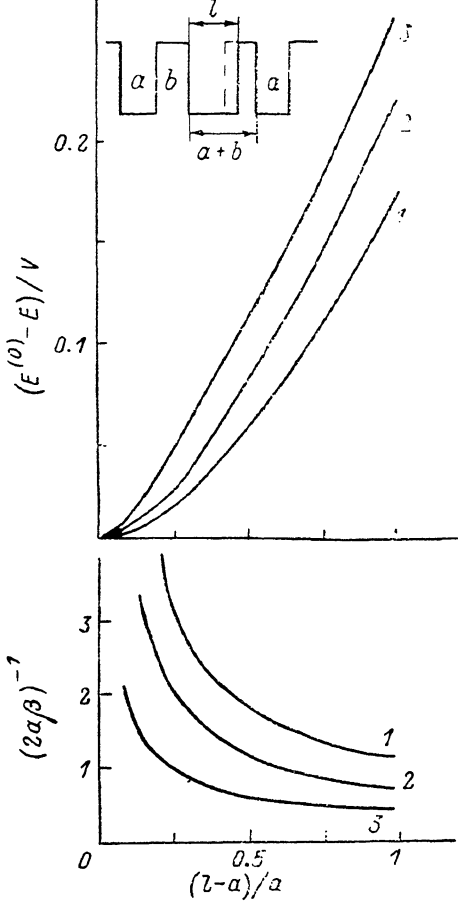


Рис. 2. Зависимость от  $l$  энергии связи и длины локализации электрона на дефекте смещения гетерограницы в СР GaAs/Al<sub>x</sub>Ga<sub>1-x</sub>As (см. вставку).

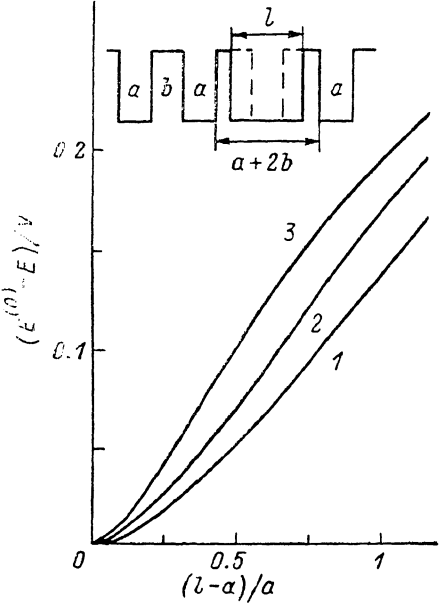
Расчет энергии проводился по формуле (12) при  $x=0.35$  ( $V=0.249$  эВ) и при  $a=b=15$  (1), 20 (2), 30 Å (3).

## 2. Расчет энергии связи и длины локализации

Применим общие формулы (8)–(10) для анализа электронных состояний на дефектах типов 1–3, показанных на вставках к рис. 1–3 соответственно. В случаях 2 и 3 дефектная яма уширена (асимметрично и симметрично) за счет

уменьшения ширины соседних барьераев так, что правая от дефекта регулярная часть СР не сдвигается относительно левой. В случае 1 имеется сдвиг на длину, не кратную периоду СР, так как барьеры при этом остаются неизменными. Как следствие, возмущение гамильтониана (изменение потенциальной энергии и эффективной массы электрона) по сравнению с идеальной СР ограничено вдоль оси  $z$  для дефектов 2, 3 и не локализовано для дефекта 1.

В каждом из трех указанных случаев от дна нижней мини-зоны отщепляется по крайней мере один локальный уровень [точнее, двумерная подзона локализованных состояний  $E(q)$  с дисперсией по  $\mathbf{q}=(q_x, q_y)$ ]. При учете симметрии или



других свойств дефекта уравнение (9) для дисперсии  $E(q)$  существенно упрощается. Так, четные состояния, локализованные на дефекте «расширенная яма» (рис. 1), определяются уравнением

$$\operatorname{tg}(kl/2) + W_{AB}^{(+)} = 0, \quad (11)$$

которое получается из (9) после подстановки  $W^{(+)}(z_+) = W_{AB}^{(+)}$ ,  $W^{(-)}(z_-) = W_{BA}^{(-)}$ ,  $t_{11} = t_{22} = \cos kl$ ,  $t_{12} = -t_{21} = \sin kl$  и учета соотношения  $W_{AB}^{(+)} = -W_{BA}^{(-)}$ .

Для дефекта смещения гетерограницы (рис. 2) матрицу  $\hat{t} = \hat{t}_B(b - c)\hat{t}_A(c)$ ,

Рис. 3. Зависимость от  $l$  энергии связи электрона на дефекте с симметричным смещением двух соседних гетерограниц в СР GaAs/Al<sub>x</sub>Ga<sub>1-x</sub>As (см. вставку).

Расчет энергии проводился по формуле (13) при  $x=0.35$  и  $a=b=15$  (1), 20 (2), 30 Å (3). Зависимость  $\beta^{-1}$  от  $l$  в этом случае практически совпадает с аналогичной зависимостью на рис. 2.

где  $c = l - a$ , удобно переписать в виде  $\hat{t}_B(b)\hat{t}_B^{-1}(c)\hat{t}_A(c)$ . Это позволяет представить уравнение (9) для энергии локализованного электрона в форме

$$W_{AB}^{(+)} = \frac{t'_{21} + t'_{22}W_{AB}^{(-)}}{t'_{11} + t'_{12}W_{AB}^{(-)}}, \quad (12)$$

где  $\hat{t}' = \hat{t}_B^{-1}(c)\hat{t}_A(c)$ . При такой записи уравнения легко убедиться в предельном переходе  $\beta \rightarrow 0$ ,  $E_1(q) \rightarrow E_0(Q_q)$  при  $c = l - a \rightarrow 0$ , где  $E_0(Q)$  — дисперсия электрона в нижней мини-зоне идеальной СР,  $Q_q = (q_x, q_y, 0)$ . Для дефекта на рис. 3 (симметричное смещение двух соседних гетерограниц) получаем

$$W_{AB}^{(+)} = \frac{1}{2\hat{t}_{12}} [\hat{t}_{11} + \hat{t}_{22} \pm \sqrt{(\hat{t}_{11} + \hat{t}_{22})^2 - 4\hat{t}_{12}\hat{t}_{21}}], \quad (13)$$

где  $\hat{t} = \hat{t}_B^{-1}(c)\hat{t}_A(a+2c)\hat{t}_B^{-1}(c)$ ,  $\hat{c} = (l-a)/2$ , верхний и нижний знаки отвечают нечетным и четным состояниям соответственно.

Результаты расчета энергии связи  $E^{(0)} - E$  и длины локализации  $\beta^{-1}$  для нижнего локализованного состояния при  $q=0$  изображены на рис. 1–3. Здесь  $E^{(0)}$  — энергия электрона на дне нижней мини-зоны, т. е.  $E_0(Q=0)$ . Расчет во всех случаях проводился для СР GaAs/Al<sub>x</sub>Ga<sub>1-x</sub>As при  $a=b$  для состава  $x=0.35$ , когда  $V=0.249$  эВ,  $m_B=1.43 m_A$  [7] [ $m_A=m$  (GaAs)=0.067  $m_0$ ,  $m_0$  — масса свободного электрона]. Как и должно быть, во всех случаях  $E^{(0)} - E \rightarrow 0$  и  $\beta^{-1} \rightarrow \infty$  при  $l \rightarrow a$ . Дисперсия  $E(q)$  характеризуется эффективной массой, значение которой заключено между  $m_A$  и  $m_B$ .

Представляет интерес проанализировать отдельно область энергий вблизи  $E^{(0)}$  для блоховских ( $E \geq E^{(0)}$ ) и локализованных ( $E < E^{(0)}$ ) электропров в СР. В окрестности  $E^{(0)}$  энергетический спектр электрона в идеальной СР

$$E = E^{(0)} + \frac{\hbar^2 K^2}{2m_{\parallel}} + \frac{\hbar^2 q^2}{2m_{\perp}}, \quad (14)$$

где  $K$  — проекция волнового вектора электрона  $\mathbf{Q}$  в СР на ось  $z$ ,  $q$  — составляющая вектора  $\mathbf{Q}$ , перпендикулярная оси  $z$ . Это выражение получено из (4) после замены  $\text{ch } \beta(a+b)$  на  $\cos K(a+b)$  и разложения вблизи дна мини-зоны. Для эффективной массы  $m_{\parallel}$  справедлива формула

$$m_{\parallel} = m_A \frac{\sin z_0 b}{k_0 (a+b)} \frac{1}{C_A^2} \left( \eta_1 + \frac{1}{\eta_0} \right), \quad (15)$$

где

$$C_A^2 = \frac{2(a+b)}{a \left( 1 + \frac{\sin k_0 a}{k_0 a} \right) + b \left( 1 + \frac{\sin z_0 b}{z_0 b} \right) \frac{1 + \cos k_0 a}{1 + \text{ch } z_0 b}}, \quad (16)$$

$k_0$ ,  $z_0$  и  $\eta_0$  — значения  $k$ ,  $z$  и  $\eta$  из (5), вычисленные при  $E^{(0)} = E$ ,  $q = 0$ .

Заметим, что волновая функция электрона в СР на дне нижней мини-зоны имеет простой вид

$$\psi_0(z) = \begin{cases} C_A \cos k_0(z - z_A) & \text{в слое } A, \\ C_B \text{ch } z_0(z - z_B) & \text{в слое } B, \end{cases} \quad (17)$$

где  $z_{A,B}$  — координата центра соответствующего слоя. Из граничных условий (2) следует, что

$$C_A \cos(k_0 a/2) = C_B \text{ch}(z_0 b/2).$$

При нормировке

$$\int_{a+b} dz |\psi_0(z)|^2 = a + b$$

коэффициент  $C_A$  определяется соотношением (16) и входит в выражение (15) для массы  $m_{\parallel}$ .

Согласно принципам метода эффективной массы, для состояний с энергией  $E$  вблизи  $E^{(0)}$  волновую функцию электрона в СР (в области  $z < z_-$  или  $z > z_+$ ) можно приближенно представить в виде  $\psi(z) = F(z) \psi_0(z)$ , где функция  $\psi_0(z)$  определена в (17), а огибающая  $F(z)$  для локализованных состояний пропорциональна  $\exp(\beta z)$  при  $z < z_-$  и  $\exp(-\beta z)$  при  $z > z_+$ , где при  $\beta(a+b) \ll 1$

$$\beta = [2m_{\parallel}(E^{(0)} - E)^{1/2} \hbar^{-1}]. \quad (18)$$

В том же приближении для значений волновой функции  $\psi$  и функции  $m^{-1}(z) \times (\partial \psi / \partial z)$  на гетерограницах получаем

$$\psi_{AB} = \cos(k_0 a/2) C_A F_{AB}, \quad (19a)$$

$$\left( \frac{1}{m(z)} \frac{d\psi}{dz} \right)_{AB} = -\frac{k_0}{m_A} \sin(k_0 a/2) C_A F_{AB} + \frac{1}{\cos(k_0 a/2) C_A m_{\parallel}} \left( \frac{dF}{dz} \right)_{AB};$$

$$\psi_{BA} = \cos(k_0 a/2) C_A F_{BA} - \frac{2 \sin(k_0 a/2)}{C_A m_{\parallel}} \frac{m_A}{k_0} \left( \frac{dF}{dz} \right)_{BA}, \quad (19b)$$

$$\left( \frac{1}{m(z)} \frac{d\psi}{dz} \right)_{BA} = \frac{k_0}{m_A} \sin(k_0 a/2) C_A F_{BA} + \frac{\cos(k_0 a)}{\cos(k_0 a/2) C_A m_{\parallel}} \left( \frac{dF}{dz} \right)_{BA}.$$

Можно убедиться в том, что выражения (19a), (19b) согласуются с требованием сохранения нормальной составляющей плотности потока частиц на границе

между объемным слоем типа *A* или *B* и сверхрешеткой или на границе между двумя различными сверхрешетками.

Обращает на себя внимание то, что коэффициент, связывающий в (19а), (19б)  $\psi$  и  $F$ , в общем случае отличен от единицы, а значение  $m^{-1}(z)$  ( $d\psi/dz$ ) на гетерогранице зависит от значений на этой границе как производной  $dF/dz$ , так и самой функции  $F$ . Этот результат позволяет понять, что и сами исходные граничные условия (2) носят приближенный характер: в общем случае значения  $\psi_1$  и  $(m^{-1}d\psi/dz)_1$  на границе слева должны сливаться с некоторыми линейными комбинациями  $\psi_n$  и  $(m^{-1}d\psi/dz)_n$ .

Из (18), (19а), (19б) получаем следующее приближенное выражение для энергии связи электрона на дефекте «нестандартная яма»:

$$E^{(0)} - E = \frac{E^{(0)}}{8} \left( \frac{l-a}{a+b} \right)^2 \frac{m_A}{m_B} [\operatorname{ch} 2\kappa_0 b - 1] \left( \eta_0 + \frac{1}{\eta_0} \right)^2. \quad (20)$$

Штриховые кривые на рис. 1 построены по формулам (18), (20). Видно, что при  $(l-a)/a \ll 1$  точные и приближенные зависимости  $E(l)$  или  $\beta(l)$  близки.

#### 4. Заключительные замечания

Мы проанализировали ситуации, когда дефект образуется в результате изменения ширины одного или нескольких прилегающих друг к другу слоев. Аналогично можно рассмотреть более сложные дефекты, включающие в себя слои с составом  $x'$ , отличающимся от  $x$  барьерных слоев в СР. В таких слоях высота барьера и эффективная масса уже отличаются от  $V$  и  $m_B$  [9].

Рассмотренный в данной работе подход удобен и для анализа поверхностных состояний в полубесконечной СР. Эти состояния аналогичны таммовским уровням в полупроводниковых кристаллах [10]. Следует иметь в виду, что если высота  $V_0$  барьера, ограничивающего СР, не меньше  $V$ , то отщепления таммовского уровня от дна нижней мини-зоны СР не происходит. Однако появление поверхностных состояний в верхних запрещенных мини-ゾнах возможно и при  $V_0 \geq V$ .

Авторы благодарны П. С. Копьеву и И. Н. Уральцеву за полезные обсуждения.

#### Список литературы

- [1] Кособукин В. А. // ФТТ. 1986. Т. 28. В. 7. С. 1965—1969.
- [2] Das Sarma S., Kobayashi A., Prange R. E. // Phys. Rev. Lett. 1986. V. 56. N 12. P. 1280—1283.
- [3] Hawrylak P., Quinn J. J. // Sol. St. Commun. 1986. V. 59. N 11. P. 781—784.
- [4] Алфёров Ж. И., Васильев А. М., Иванов С. В., Копьев П. С., Леденцов Н. Н., Луценко М. Э., Устинов В. М. // Письма ЖЭТФ. 1988. Т. 47. В. 19. С. 1803—1807.
- [5] Займан Дж. Модели беспорядка. М., 1982. 592 с.
- [6] Merlin R., Baajem K., Clarke R., Juang F.-Y., Bhattacharya P. K. // Phys. Rev. Lett. 1985. V. 55. N 17. P. 1768—1770.
- [7] Bastard G. // Phys. Rev. 1981. V. B24. N 10. P. 5693—5697.
- [8] Борн М., Вольф Э. Основы оптики. М., 1970. 856 с.
- [9] Ивченко Е. Л., Копьев П. С., Кочерешко В. П., Уральцев И. Н., Яковлев Д. Р. // Письма ЖЭТФ. 1988. Т. 47. В. 8. С. 407—409.
- [10] Ансельм А. И. Введение в теорию полупроводников. М., 1978. 615 с.

Физико-технический институт  
им. А. Ф. Иоффе АН СССР  
Ленинград

Получена 12.12.1988  
Принята к печати 11.01.1989